

## HCCI 엔진 부실내 소기특성에 대한 이론 및 수치해석적 연구

서 용 권<sup>1</sup>, 허 형 석<sup>2\*</sup>

### THEORETICAL AND NUMERICAL STUDY ON SCAVENGE CHARACTERISTICS IN A SUBCHAMBER OF AN HCCI ENGINE

Y.K. Suh and H.S. Heo

*In this paper, we present the theoretical and numerical results of scavenge characteristics in a small subchamber of an HCCI(Homogeneous Charge Compression Ignition) engine. Two theoretical models are proposed in prediction of the scavenge time and the efficiency; one is the non-mixing model in which the input gas(CH4) and the existing gas(air) do not mix at all, and the other is the fully-mixed model in which the two gases are assumed to mix completely before ejection. Focus is also given to the effect on the scavenge performance of the size of the chamber outlet.*

**Key Words:** 균일 예혼합 압축 착화(HCCI), 부실(Subchamber), 정적연소기(Constant Volume Combustor), 소기 특성 (Scavenge Characteristics), 질량비(Mass Fraction)

### 1. 서 론

자동차 엔진의 성능은 날이 갈수록 점점 더 향상되고 있고 자동차의 수요도 더욱 더 높아지고 있다. 이에 따라 자동차의 유해배출가스를 줄이려는 세계적 관심도 증대되고 있다. 이를 위한 최선의 방법은 현재로서는 희박연소의 실현이다. 그러나 이 방법은 느린 연소 속도, 실화 유발 등 문제점이 많다. 이러한 것들을 극복하기 위하여 초희박연소가 가능한 HCCI(Homogeneous Charge Compression Ignition; 예혼합압축착화)엔진이 연구되고 있다.

이 엔진은 가솔린 기관의 저배기 특성과 디젤기관의 고효율 특성을 함께 지니고 있지만 확실한 자기 착화원의 확보와 자기착화시기의 제어기술의 부재로 인하여 폭넓은 작동영역에 있어 사이클 안정성의 실현이 곤란하다는 단점이 있다. 그래서 이러한 단점을 보완할 수 있는 신개념의 엔진설계가 필요하다.

신개념의 엔진설계는 엔진 내에 소형 부실을 설치하고 그 내부에 스파크 플러그를 장착함으로써, 이 플러그를 점화하였을 때 발생한 화염이 부실 벽에 있는 다수의 연락공을 통해서 주실로 분출하도록 하고 이 에너지를 이용하여 주실 내의 초희박연합기를 착화하려는 방법이다 [1,2](Fig. 1). 이러한 장치에서 나타나는 한 가지 문제점은, 부실 내에서 실화가 발생하여 적절한 연소상태를 유지하지 못하는 것이다. 그 이유는 부실내 잔류가스가 적절히 소기되지 못하고 있기 때문으로 알려지고 있다. 실험적으로 이 문제를 해결하기 위하여 여러 가지의 부실을 제작하여 시행착오적으로 연구를 수행하고 있으나 소기 특성에 대한 이론적 또는 수치해석적 연구는 전무한 실정이다. 다만 부실에서 분출되는 분무의 유동특성을 수치석적인 방법으로 연구하고 있는 정도이다. 관련된 선행연구는 문헌[3-7]과 같다.

본 연구는 부실내 잔류가스의 소기 특성에 대해 수치해석인 방법과 동시에 이론해석을 수행함으로써 이론과 수치해석이 상호 보완될 수 있도록 하고자 한다. 그리하여 궁극적으로는 이론해석의 방법이 과연 실제 설계에 응용될 수 있는 것인지를 파악하는 것이 본 연구의 주된 연구

접수일: 2004년 6월28일, 심사완료일: 2004년 8월16일.

1 정회원, 동아대학교 기계공학과

2 학생회원, 동아대학교 대학원 기계공학과

\* Corresponding author E-mail: hsheo@donga.ac.kr

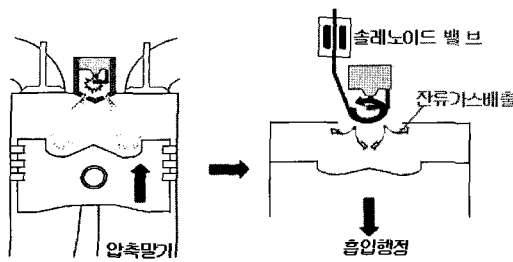


Fig. 1 Concept sketch for the HCCI engine with a subchamber

목표이다.

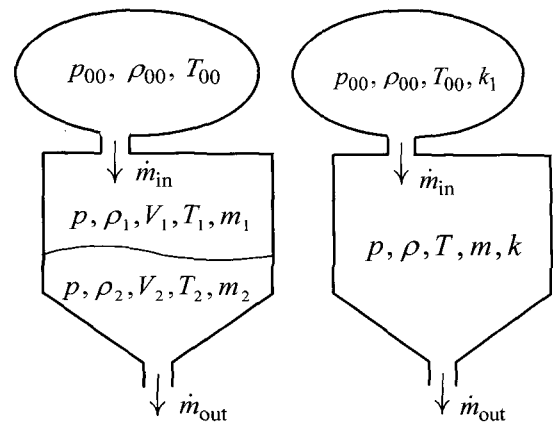
## 2. 이론모델 및 수치해석

### 2.1 이론

실제 엔진에서 한 사이클 동안 부실은 신기(여기서는 CH<sub>4</sub>)와 연소가스(혹은 잔류가스; 여기서는 공기)가 교대로 차지하는 형태를 띤다. 한 사이클 동안의 주실 및 부실의 상황을 살펴보면, 먼저 신기가 부실 내로 유입되면서 이전 사이클 동안 연소한 잔류기체를 배출시킨다. 다음, 부실 내의 스파크 플리그의 점화에 의해 부실이 연소하면 부실 내는 고온 고압의 화염으로 가득 차고 이어서 화염이 연락공을 통해 주실로 분출된다. 주실에서는 분출된 고온의 화염을 핵으로 하여 동시다발적으로 연소가 이루어 진다. 이러한 과정이 반복되는 것이 HCCI 엔진의 기본 개념이다(Fig. 1). 본 연구는 이러한 과정에서 신기에 의한 잔류 기체의 배출시간을 정확히 예측하는 이론식을 제시하는 것이 주된 목표이다.

부실 내의 스파크 플리그는 본 이론해석에서는 완전히 무시한다. 그리고 부실에서 주실로 화염 혹은 잔류가스를 배출시키는 연락공은 1개로 가정한다. 그러나 이론해석의 입장에서는 연락공의 개수가 문제되는 것은 아니고 연락공의 전체 단면적만이 중요하다. 본 연구에서는 특별히 입구 직경을 1mm로 고정하고 출구 직경을 0.5mm, 1mm, 2mm, 3mm의 4가지로 또는 연속적으로 변화시키면서 출구 직경의 영향을 검토하였다. 부실의 형상도 이론해석에서는 문제시되지 않고 체적의 크기만이 중요하다. 본 연구에서는 부실의 체적을 4cc로 고정하였다.

이론해석에서 부실은 Fig. 2와 같이 두 가지 형태로 모델링한다. (a)는 비혼합 모델(non-mixing model)로서, 부실 내에 유입된 기체가 잔류가스와 전혀 혼합되지 않은 상태로 밀어내는 형태이다. 사실, 이 모델이 이론적으로는 가장 존재하고 유입된 기체가 잔류 기체를 그대로 출구로



(a) Non-mixing model

(b) Fully-mixed model

Fig. 2 Theoretical model

이상적인 모델이며 설계자의 입장에서는 가장 바람직한 소기 형태라 말할 수 있다. (b)는 완전 혼합 모델(fully-mixed model)로서, 부실로 유입된 기체가 유입 즉시 잔류 기체와 완전히 혼합되고(따라서 부실 내 기체는 항상 균질혼합의 상태로 존재하는 것으로 가정) 배출할 때는 완전히 혼합된 상태라 가정한다. 두 가지 모델 모두에서 신기는 일정한 압력과 온도로 유지되는 신기저장 탱크에서부터 공급된다.

본 연구에서는 신기의 저장탱크 압력을  $p_{00} = 5$  [bar], 온도를  $T_{00} = 300$  [K]로 가정하였으며, 밀도  $\rho_{00}$ 는 이상기체 상태방정식으로부터 구해진다.

### 2.1.1 비혼합 모델(Non-mixing model)

이 모델에서 부실 내는 Fig. 2(a)에서처럼 입구 근처에서 신기만으로 채워진 체적  $V_1$ 의 영역과 출구 근처에서 잔류가스만으로 채워진 체적  $V_2$ 의 영역으로 이루어지며 두 영역은 전혀 혼합되지 않는 것으로 가정한다. 단, 압력은 동일한 것으로 가정한다. 우선 두 공간에 대해 연속방정식을 적용하면 아래와 같다.

$$\frac{dm_1}{dt} = f_1 \quad (1)$$

$$\frac{dm_2}{dt} = -f_2 \quad (2)$$

여기서 시간함수인  $m_1, m_2$ 는 두 영역 내 기체 질량,

$f_1, f_2$ 는 각각 영역 1로 유입되는 질량유량 및 영역 2로부터 외기로 배출되는 질량유량이다.  $f_1$ 은 부실 입구에서의 초킹(choking)의 발생 여부에 따라 다음과 같은 식으로 표현된다.

$$\begin{aligned} f_1 &= f(A_1, p_{00}, p, \rho_{00}, k_1) \\ &= A_1 \sqrt{\frac{2k_1}{k_1-1} p_{00} \rho_{00} \left(\frac{p}{p_{00}}\right)^{2/k_1} \left[1 - \left(\frac{p}{p_{00}}\right)^{(k_1-1)/k_1}\right]} \\ &\text{for } \frac{p}{p_{00}} \geq \left(\frac{2}{k_1+1}\right)^{k_1/(k_1-1)} \quad (\text{초킹 미발생}) \\ &= A_1 \sqrt{k_1 \left(\frac{2}{k_1+1}\right)^{(k_1+1)/(k_1-1)} p_{00} \rho_{00}} \\ &\text{for } \frac{p}{p_{00}} < \left(\frac{2}{k_1+1}\right)^{k_1/(k_1-1)} \quad (\text{초킹 발생}) \end{aligned}$$

여기서,  $A_1$ 은 부실 입구 단면적이고,  $p$ 는 부실 내 압력,  $k_1$ 은 신기의 비열비이다.

배출질량유량  $f_2$ 는 아래와 같이 하여 구한다.

$$f_2 = f(A_2, p, p_a, \rho_2, k_2)$$

여기서,  $A_2$ 는 부실 출구 단면적,  $\rho_2$ 는 외기(공기)의 밀도,  $k_2$ 는 잔류가스의 비열비이다,  $p_a$ 는 외기 압력으로서 1[bar]로 가정한다.

식 (1)과 (2)에 사용된 질량은 아래와 같이 표현된다.

$$m_1 = \rho_1 V_1 \quad (3)$$

$$m_2 = \rho_2 V_2 \quad (4)$$

여기서,  $\rho_1$ 은 영역 1에 있는 신기의 밀도이다. 한편 두 영역의 체적을 합하면 늘 일정한 양  $V_0$ 가 되어야 하므로,

$$V_1 + V_2 = V_0 = \text{const} \quad (5)$$

이다.

영역 1로 유입되는 신기의 에너지는 영역 1에서 누적되므로  $d(\rho_1 V_1 T_1)/dt = T_{00} f_1$ 와 같이 쓸 수 있다. 여기서  $T_1$ 은 영역 1에서의 온도이다. 신기에 대한 이상기체 상태방정식을 적용하면 이 식은 아래와 같이 된다.

$$\frac{d(pV_1)}{dt} = R_1 T_{00} f_1 \quad (6)$$

여기서  $R_1$ 은 신기의 기체상수이다.

영역 2의 잔류가스는 영역 1의 신기와 동일한 압력으로 유지되는 것으로 가정하고, 그 상태변화는 등엔트로피 과정으로 가정하여

$$p/\rho_2^{k_2} = \text{const} \quad (7)$$

의 식을 적용한다.

정리하면, 7개의 미지변수  $m_1, m_2, \rho_1, \rho_2, p, V_1, V_2$ 가 (1)~(7)의 7개 식에 의해 결정된다.

이 방정식 시스템을 풀기 위해, 우선 식 (1), (2)의 질량  $m_1, m_2$ 을 식 (3), (4)로 소거한다. 다음, 식 (5)와 (7)을 시간미분하여 동적 방정식을 얻은 뒤 최종적으로 압력에 대한 동적 방정식을 구하면 아래와 같이 된다.

$$\frac{dp}{dt} = g \equiv \frac{k_2 p}{k_2 V_1 + V_2} \left( \frac{R_1 T_{00} f_1}{p} - \frac{f_2}{\rho_2} \right) \quad (8)$$

이 식으로 압력이 결정되면, 영역 2의 체적은

$$\frac{dV_2}{dt} = -\frac{f_2}{\rho_2} - \frac{V_2 g}{k_2 p} \quad (9)$$

으로 구해지며, 체적  $V_1$ 은 식 (5)에 의해, 밀도  $\rho_1$ 은 식 (1)과 (3)에 의해 구해진다. 또한 밀도  $\rho_2$ 는 식 (7)로써 구한다.

지금까지 제시한 방정식들 중에서 식 (8)과 (9)와 같은 동적 방정식들은 Euler 외재적 방법을 사용하여 해를 구하였으며, 시간 간격은 0.02ms로 하였다.

부실의 입구 유속  $u_{el}$ 은, 초킹 발생시는

$$u_{el} = \sqrt{\frac{2k_1}{k_1+1} R_1 T_{00}} \quad (10)$$

으로, 초킹 미발생시는

$$M_{el} = \sqrt{\frac{2}{k_1-1} \left[ \left(\frac{p_{00}}{p}\right)^{(k_1-1)/k_1} - 1 \right]} \quad (11)$$

$$T_{el} = T_{00} \left( \frac{p}{p_{00}} \right)^{(k_1 - 1)/k_1} \quad (12)$$

$$u_{el} = M_{el} \sqrt{k_1 R_1 T_{el}} \quad (13)$$

으로 구한다. 여기서,  $M_{el}$ ,  $T_{el}$ 은 부실 입구의 마하 수와 온도이다. 그리고 부실의 출구 유속은, 초킹 발생시

$$u_{e2} = \sqrt{\frac{2k_2}{k_2 + 1} R_2 T_2} \quad (14)$$

으로, 초킹이 미발생시

$$M_{e2} = \sqrt{\frac{2}{k_2 - 1} \left[ \left( \frac{p}{p_a} \right)^{(k_2 - 1)/k_2} - 1 \right]} \quad (15)$$

$$T_{e2} = T_2 \left( \frac{p_a}{p} \right)^{(k_2 - 1)/k_2} \quad (16)$$

$$u_{e2} = M_{e2} \sqrt{k_2 R_2 T_{e2}} \quad (17)$$

으로 구한다. 여기서,  $M_{e2}$ ,  $T_{e2}$ 는 부실 출구에서의 마하 수와 온도이다.

### 2.1.2 완전 혼합 모델(Fully-mixed model)

이 모델에서는 부실 내에서 신기와 잔류가스가 완전히 혼합되어 균질의 상태로 존재하는 것으로 가정한다. 부실 내 전체 질량  $m$ 은 다음과 같이 각 성분 질량의 합과 같다.

$$m = m_1 + m_2 \quad (18)$$

한편, 혼합기체의 상태는 Dalton의 분압모델[8]의 개념을 적용하여

$$p_1 V_0 = n_1 \bar{R} T \quad (19)$$

$$p_2 V_0 = n_2 \bar{R} T \quad (20)$$

의 식으로 표현한다. 여기서  $\bar{R}$ 은 일반 기체상수,  $p_1$ ,  $p_2$ 는 각각 신기와 잔류가스의 분압을 나타내며,  $T$ 는 부실 내 온도,  $n_1$ ,  $n_2$ 는 각 기체의 몰(mole) 수로서 몰 중량(molecular weight)  $M_1$ ,  $M_2$ 로부터 아래 식으로 구해

진다.

$$n_1 = m_1 / M_1 \quad (21)$$

$$n_2 = m_2 / M_2 \quad (22)$$

부실내 총 압력은 분압  $p_1$ ,  $p_2$ 의 합과 같다:

$$p = p_1 + p_2 \quad (23)$$

부실 내 총 질량  $m$ 의 방정식은 아래와 같이 연속방정식에 의해 간단히 표현된다.

$$\frac{dm}{dt} = f_1 - f_2 \quad (24)$$

여기서,  $f_1$ ,  $f_2$ 는

$$f_1 = f(A_1, p_{00}, p, \rho_{00}, k_1)$$

$$f_2 = f(A_2, p, p_a, \rho, k)$$

와 같다. 혼합기체의 비기체 상수  $k$ 는 아래 식으로 구해야 한다.

$$k = \frac{1}{n_1 + n_2} (n_1 k_1 + n_2 k_2) \quad (25)$$

신기의 질량  $m_1$ 의 방정식은 아래와 같다.

$$\frac{dm_1}{dt} = f_1 - \left( \frac{m_1}{m} \right) f_2 \quad (26)$$

에너지 방정식은 아래와 같다.

$$\frac{dH}{dt} = c_{p1} f_1 T_{00} - \left( \frac{m_1}{m} c_{p1} + \frac{m_2}{m} c_{p2} \right) f_2 T \quad (27)$$

여기서, 엔탈피  $H$ 는

$$H = (m_1 c_{p1} + m_2 c_{p2}) T \quad (28)$$

와 같다. 그리고  $c_{p1}$ ,  $c_{p2}$ 는 신기와 잔류가스의 비정압

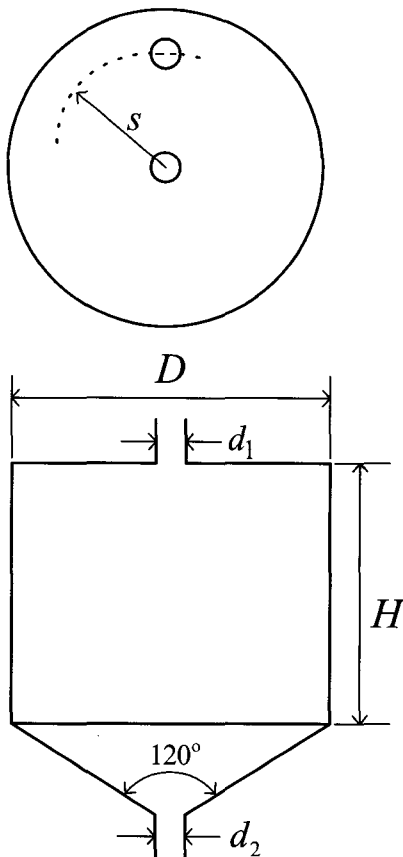


Fig. 3 Top and sectional views of the subchamber subjected to the 3-D CFD

비열이다.

계산순서는, 먼저 식 (24)에 의해 부실 내 총 질량  $m$  을 구하고, 이어서 밀도  $\rho$ 를 구한 뒤, 식 (26)으로  $m_1$  을 구한다. 다음, 식 (18)로  $m_2$ 를 구한 뒤 식 (27)과 (28)로  $H$ 와  $T$ 를 차례대로 계산한다. 그리고,  $n_1$ ,  $n_2$ 를 식 (21), (22)로 구하여,  $p_1$ ,  $p_2$ 를 식 (19), (20)으로 구하고, (23)으로 총 압력을 계산한다. 마지막으로 식 (25)에 의해  $k$ 를 계산하면, 한 시간 스텝에서의 계산과정이 끝난다.

## 2.2 3차원 수치해석

Fig. 3은 상용 CFD 툴에 의한 3차원 수치해석을 위해 설정한 유동영역의 개략도이다.  $H$ ,  $D$ ,  $d$ ,  $s$ 는 부실의 깊이, 지름, 노즐의 지름, 중심에서의 거리이다. 본 연구에서는  $H=14mm$ ,  $D=19mm$ ,  $d_1=1mm$ 로 정하며,  $d_2$ 는 1mm, 2mm,

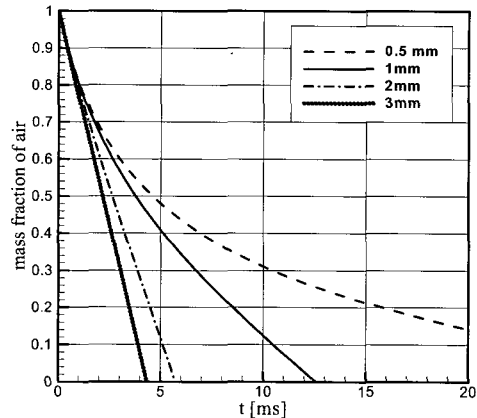


Fig. 4 Mass fraction of the air obtained from the non-mixing model for four outlet diameters

3mm의 세가지, 그리고  $s=3.5mm$ 로 설정한다.

여기서도 출구의 압력은 앞에서와 같이 1[bar]로 고정시켰다. 그러나 앞과 달리 신기저장 탱크는 제거하여 계산효율의 증대를 도모하였다. 단, 입구 유속은 신기저장 탱크의 압력을 5[bar]로 가정하고 항상 초킹이 발생한다고 가정하여 419m/s로, 그리고 입구 압력도 이에 상응하는 값인 2.7[bar]로 설정하였다. 경계조건은 입구에서 메탄이 유입되고 부실내에는 공기가 이미 있는 상태이고 출구에는 메탄과 공기가 같이 유출되는 조건이다.

본 해석을 위하여 보편적인 신뢰성이 입증되어 있는 상용코드(FLUENT 6.0)를 사용하였다. 그리고 난류 모델은 일반적인 표준 k-ε난류 모델을 사용하였다. 격자계는 비정렬격자계를 사용하며 격자수는 약 9만개이며 유속이 급변하는 입구와 출구부에서는 격자계를 상대적으로 더욱 조밀하게 하였다.

## 3. 결과 및 검토

### 3.1 비혼합 모델(Non-mixing model)

Fig. 4는 비혼합 모델의 이론해석 결과로서 입구 노즐의 직경이 1mm일 때 부실내 잔류가스의 질량분율(mass fraction)의 시간변화를 출구 노즐의 크기별로 나타낸 것이다. 모든 경우에 있어서 잔류가스는 유한한 시간 내에 모두 소기된다. 그리고 당연시되지만, 출구 노즐의 직경이 클수록 소기 시간은 더욱 짧아지고 있음을 알 수 있다.

질량분율 10%인 시점을 비교해 보면 출구 직경이 1mm 일 때는 10.5ms, 2mm 일 때는 5ms, 3mm 일 때는 3.9ms 정

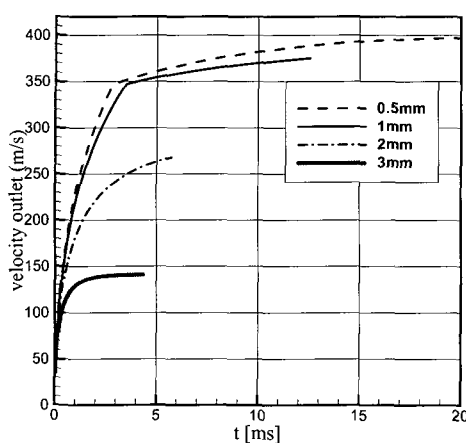


Fig. 5 Velocity at the outlet obtained by the non-mixing model for four outlet diameters

도이다. 실제에서는 두 기체가 혼합되고 또 더욱이 신기가 유입된 뒤 미처 충분히 혼합되기 전에 곧바로 출구를 통해 배출될 수 있기 때문에 실제 소기 시간은 더 증가할 것으로 예측할 수 있다. 즉 실제의 소기 시간은 비혼합 모델로 예측한 소기 시간보다 항상 더 클 것으로 짐작할 수 있다.

Fig. 5는 입구 노즐의 직경이 1mm이고 출구 노즐의 크기를 달리하였을 때 출구 노즐에서의 유출 속도를 나타내고 있다. 0.5mm와 1mm의 경우는 3ms 근처에서 이미 출구에서 초킹이 발생함을 알 수 있다. 이는 출구가 작기 때문에 부실 내 압력이 쉽사리 증가되기 때문이다. 그리고 출구 직경이 커질수록 전반적으로 배출속도는 감소된다. 특히 직경 3mm의 경우에는 2ms 경부터 정상상태에 도달한다.

### 3.2 완전 혼합 모델(Fully-mixed model) 및 3차원 수치해석 결과

Fig. 6과 7은 완전 혼합 모델을 이용한 이론해석 결과와 FLUENT의 3차원 수치해석 결과를 비교한 것으로서 입구 노즐의 크기가 1mm일 때 부실내 공기의 질량분율과 유출 속도를 출구 노즐 크기별로 나타낸 것이다.

Fig. 6을 보면 완전 혼합 모델을 적용한 이론해석이 3차원 CFD 수치해석 결과에 비하여 다소 빠른 소기시간을 예측하고 있음을 알 수 있다. 그러나 앞의 비혼합 모델과 비교하면 완전혼합 모델의 결과가 훨씬 더 정확히 3-D 수치해석 결과를 예측하고 있고, 또 설계에 이론 해석의 결

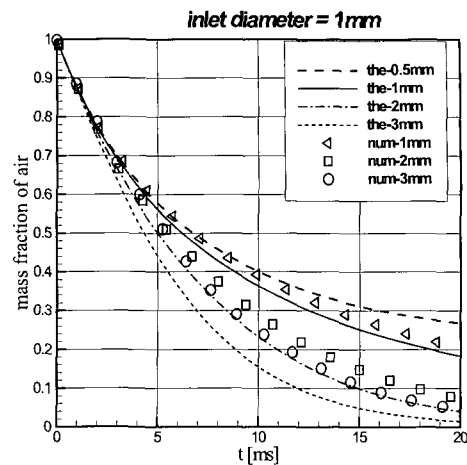


Fig. 6 Mass fraction of the air obtained by the fully-mixed model(lines) and 3-D CFD(symbols)

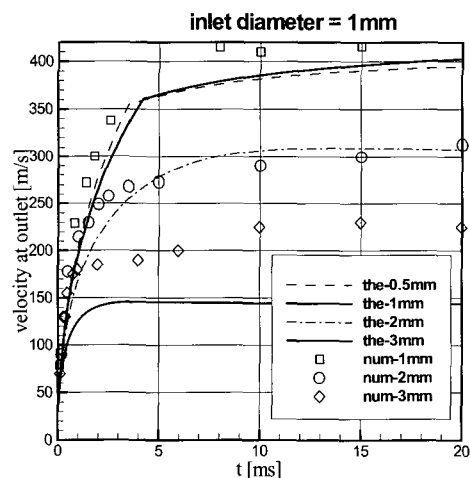


Fig. 7 Velocity at the outlet obtained by the fully-mixed model(lines) and 3-D CFD(symbols)

과를 바로 적용해도 큰 무리가 없을 정도임을 알 수 있다. 이론해석의 결과가 여기서도 더 짧은 소기시간을 예측하고 있음은, 유입된 신기가 충분히 혼합되기 전에 바로 유출구를 통해 외기로 배출되고 있음을 암시한다. 그것은 Fig. 7의 유출 속도의 크기에서도 알 수 있다. 이론해석에 비해 수치해석의 결과가 전반적으로 더 크게 예측하고 있는 것은 다음과 같이 생각할 수 있다. 우선, 유입된 질량만큼 배출되는 것으로 가정하면, 배출 속도가 크다는

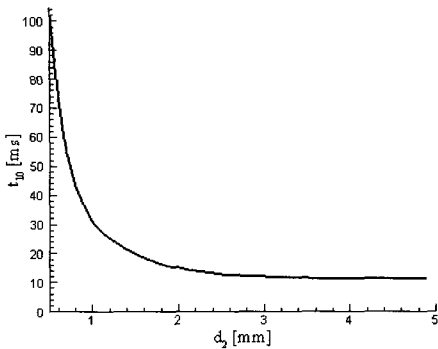


Fig. 8 10%-scavenge time obtained by the fully-mixed model

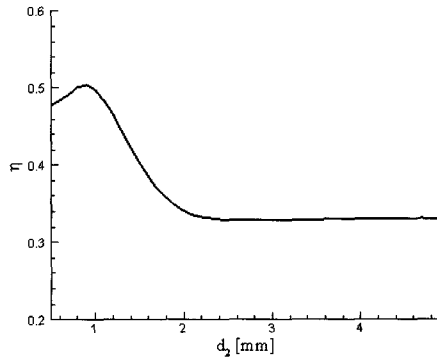
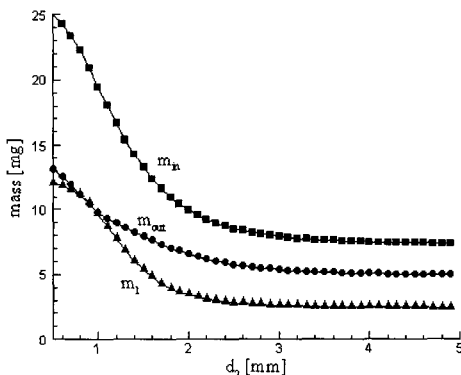


Fig. 10 Scavenge efficiency obtained by the fully-mixed model.

Fig. 9 Mass of  $\text{CH}_4$  put into ( $m_{in}$ ), ejected from ( $m_{out}$ ), and remained within ( $m_1$ ) the subchamber up to the 10%-scavenge time obtained by the fully-mixed model

것은 배출되는 혼합기체의 밀도가 이론적으로 완전히 혼합된 상태로 배출하는 경우보다 상대적으로 더 작음을 의미하며, 이는 유입된 메탄이 잔류가스인 공기와 충분히 혼합되기 전 상태에서 배출된다는 것을 의미한다. Fig. 7에서 또한 출구 직경이 작을수록 이론해석의 결과가 수치해석 결과와 더 잘 일치하는 것은, 출구 직경이 작을 때는 기체가 곧바로 배출하기보다는 부실 내에서 더 오랫동안 머물면서 잔류가스와 혼합할 시간이 그만큼 더 많기 때문인 것으로 생각된다.

Fig. 8은 출구 노즐의 크기를 변화시켰을 때 질량분율이 10%가 되는 소기시간(10% scavenge time)  $t_{10}$ 을 나타내고 있으며, 완전 혼합모델의 이론해석 결과이다. 출구 노즐의 직경 3mm정도부터는 소기시간이 약10ms로 거의 일정하게

되는 것을 볼 수 있다. 이 결과로부터, 소기특성만을 고려한다면 3mm이상의 출구 노즐은 설계를 할 필요가 없음을 알 수 있다.

Fig. 9는  $t_{10}$  까지 부실 내로 유입된  $\text{CH}_4$ 의 질량( $m_{in}$ ), 유출된  $\text{CH}_4$ 의 질량( $m_{out}$ ), 및 부실내의  $\text{CH}_4$ 의 잔류질량( $m_1$ )을 나타내고 있으며, 출구 노즐의 크기를 연속적으로 변화시켰을 때의 이론해석 결과이다. 출구 노즐 직경이 1mm일 때 잔류질량과 유출질량이 교차하고 있는 것을 확인할 수 있다. 동일한 잔류가스 질량분율 10%에서 잔류질량이 많다는 것은 그만큼 부실 내 압력이 증가되어 있음을 의미한다. 따라서 이로부터 출구 직경이 작을수록 잔류질량이 증가하는 이유를 이해할 수 있다. 한편, 동일한 소기특성에서 유입 질량에 비해 유출 질량이 크다는 것은 그만큼 소기효율이 떨어지는 것으로 생각할 수 있다.

Fig. 10은 소기시간까지 유입된  $\text{CH}_4$ 의 질량( $m_{in}$ )에 대한 잔류  $\text{CH}_4$ 의 질량( $m_{out}$ )의 비 즉 소기효율

$$\eta = \frac{m_1}{m_{in}}$$

을 나타내고 있다. 노즐 직경이 1mm일 때 가장 효율이 높으며 이 때 효율은 약 50%정도이다. 그리고 출구 직경이 증가할수록 효율은 감소하다가 3mm부터는 거의 33% 정도의 일정한 값으로 유지된다.

Fig. 11은 입구 노즐의 크기가 1mm이고 출구노즐의 크기가 3mm일 때 메탄의 질량분률의 분포를 34-100%의 범위에서 나타내었다. 이 그림은 3차원 해석의 결과이며 이

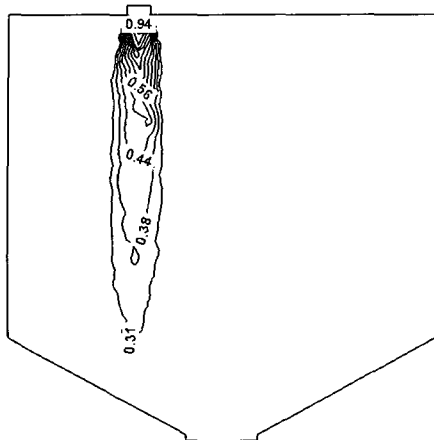
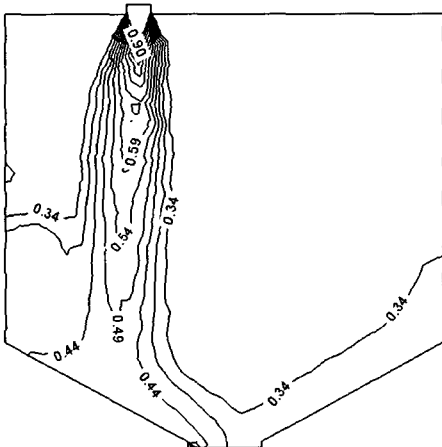
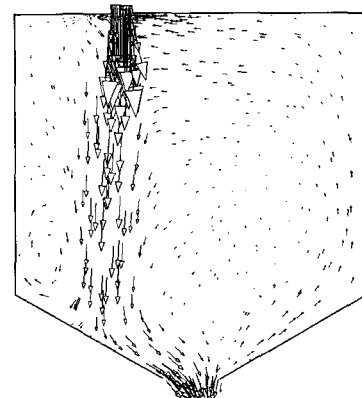
(a)  $t = 0.29\text{ms}$ (b)  $t = 3.46\text{ms}$ 

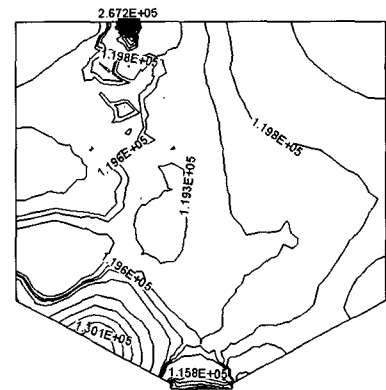
Fig. 11 Distribution of  $\text{CH}_4$  obtained from the 3-D numerical computation

해를 쉽게 하기 위하여 단면도만을 나타내었다. Fig. 11(a)는 분사된 직후의 분포이다. 노즐에서 분사된 메탄은 31%의 질량분율의 분포에 있어서는 아직 출구 벽면에 도달하지 않은 상태다. Fig. 11(b)는 질량분율 분포가 벽면에 도달한 것을 볼 수 있다. 출구 근처에서는 제트의 일부분이 출구로 배출되며 나머지 부분은 다시 부실 내로 재순환되는 것을 확인할 수 있다. 이는 앞의 소기특성에 대한 설명과 일치한다.

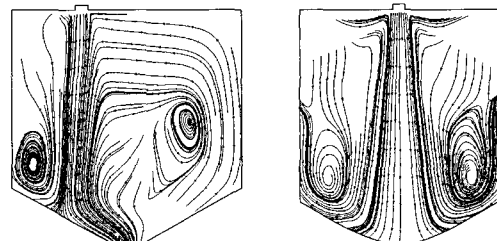
Fig. 12(a), (b), (c)는 Fig. 11(b)의 경우에 대한 유속, 압력, 유선을 나타내고 있다. Fig. 12(a)는 유속 분포이며 화



(a) Velocity vectors



(b) Pressure distribution



(c) Streamlines

Fig. 12 Results obtained from the 3-D numerical computation.

살표의 크기로 유속의 정도를 나타내었다. 분출되는 가스의 유속에 비하여 주변의 유속은 상대적으로 아주 느린 것을 볼 수 있는데 이것은 유입된 기체의 상당부분이 출구로 바로 빠져나가버리기 때문으로 생각된다. Fig. 12(b)는 압력분포를 나타내는 그림으로, 분사된 기체가 충돌한

경사면은 상대적으로 높은 압력을 형성하고 있는 것을 알 수가 있다. Fig. 12(c)는 유선을 나타내며, 제트 주위에 하나의 큰 보텍스 링이 형성되어 있음을 확인할 수 있다.

## 5. 결 론

본 연구에서는 이론 및 수치해석을 통하여 HCCI 엔진의 부실 내 소기특성에 대하여 연구하였으며 유입노즐의 직경 1mm에 대한 해석결과 다음과 같이 결론지울 수 있다.

(1) 본 연구에서 제시한 완전혼합 이론해석 모델은 3-D 수치해석 결과와 비교적 잘 일치하여 초기의 부실설계 단계에서 직접 적용할 수 있다.

(2) 동일한 소기특성을 얻기 위한 부실 내 유입질량은 출구 직경이 작을수록 증가한다.

(3) 부실 출구 직경이 1mm일 때 최대의 소기효율 50%를 보인다.

(4) 출구 직경 3mm 이상에서는 직경이 변하여도 소기 특성은 거의 변하지 않는다.

## 후 기

본 연구는 한국과학재단의 특정기초연구 과제번호 R01-2003-000-11622-0에 의해 수행되었으며, 이에 관계자 여러분께 감사드립니다.

## 참고문헌

- [1] 조상무, 전재혁, 장인서, 박권화, 정성식, 2003, “라디칼 인젝터를 적용한 정직연소기의 연소특성에 관한 계산적 연구,” 대한기계학회 논문집 B권, 제27권, 제9호, p.1309.
- [2] Bae, C.S., 2003, "Homogeneous Charge Compression Ignition Engine with Early Diesel," *HCCI 엔진 연소기술 Workshop*, p.974.
- [3] 심영삼, 횡순철, 김덕줄, 2003, “분위기 조건에 따른 GDI 분무거동의 수치적 연구,” 대한기계학회 추계학술대회 논문집, p.466.
- [4] 정해영, 이기형, 이창식, 2003, “연료 물성치 변화가 HCCI-용 스월 인젝터의 분무특성에 미치는 영향,” 대한기계학회 추계학술대회 논문집, p.478.
- [5] 양두한, 박영구, 2003, “정직챔버내 연료분무의 수치해석적 연구,” 대한기계학회 추계학술대회 논문집, p.974.
- [6] Park, S.W., Kim, H.J. and Lee, C.S., 2003, "Numerical and Experimental Analysis of Spray Atomization Characteristics of a GDI Injector," *KSME Int. J.*, Vol.17, No.3, p.449.
- [7] Park, S.W., Kim, H.J. and Lee, C.S., 2003, "Numerical and Experimental Analysis of Spray Atomization Characteristics of a GDI Injector," *KSME Int. J.*, Vol.17, No.11, p.1812.
- [8] van Wylon, G.J. and Sonntag, R.E., 1976, *Fundamentals of Classical Thermodynamics*, John Wiley and Sons, New York, p.425.